

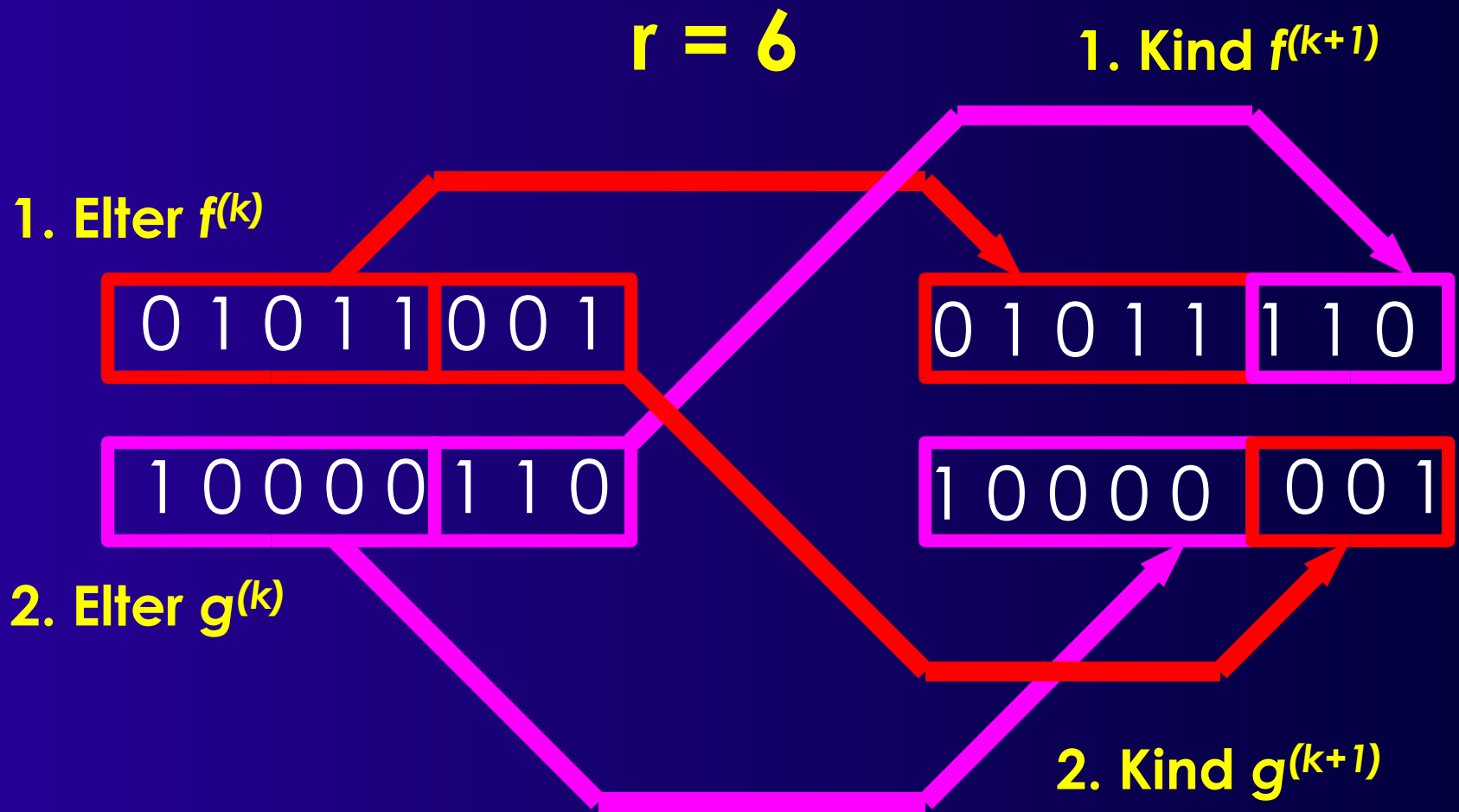
Genetische Algorithmen, Längenmaße und Platzierung

Andreas Koch
FG Eingebettete Systeme
und ihre Anwendungen
TU Darmstadt

- Abschluss Genetische Algorithmen
- Übung Timing-Analyse
- Längenmaße
- Arten von Platzierungsproblemen
- Platzierungsverfahren
- Partitionierung
 - Kernighan-Lin
- Zusammenfassung

Genetische Algorithmen 4

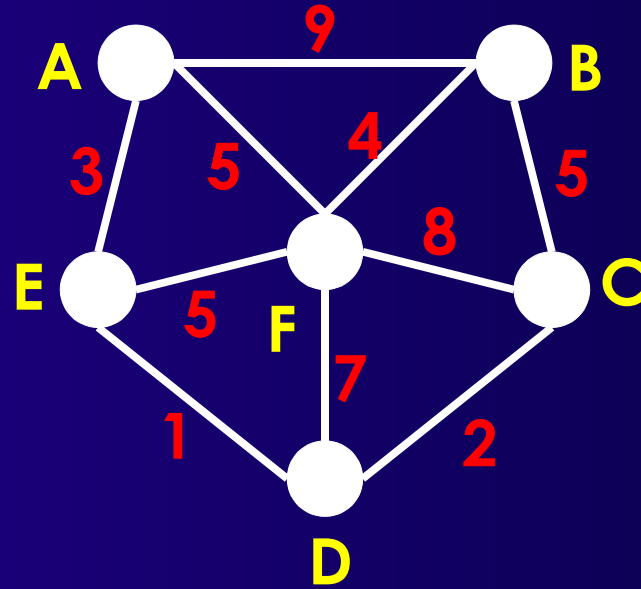
Beispiel: UPP im 10x10 Raster, platziere einzelne Zelle



Genetische Algorithmen 5

- **Crossover erzeugt ungültige Lösungen**
 - Abhilfe: Mehr Struktur als einfache Bitfolgen
- **Bei UPP: Folgen von 4-bit Koordinaten**
 - Nun zwar intern konsistente Koordinaten
 - Reicht aber nicht aus!

Travelling Salesman Problem



- TSP
- *Einfacher* Zyklus durch alle Knoten mit minimaler Länge
 - Jeder Knoten nur einmal besucht
 - Minimale Kantengewichte
- NP-vollständig

Genetische Algorithmen 6

- Chromosom: Folge von Knoten
- Aber:
 - $\underline{f}^{(k)} = v_1v_3 \mid v_6v_5v_2v_4$, $\underline{g}^{(k)} = v_4v_2 \mid v_1v_5v_3v_6$, $r=3$
 - $\underline{f}^{(k+1)} = v_1v_3v_1v_5v_3v_6$, $\underline{g}^{(k+1)} = v_4v_2v_6v_5v_2v_4$

Genetische Algorithmen 7

- Problem-spezifisches Crossover
- Bei TSP: z.B. Geordnetes Crossover
 - Kopiere Elemente $1 \dots (r-1)$ aus $\underline{f}^{(k)}$ nach $\underline{f}^{(k+1)}$
 - Kopiere in $\underline{f}^{(k+1)}$ fehlende Elemente nach $\underline{f}^{(k+1)}$
 - ◆ In der Reihenfolge ihre Auftretens in $\underline{g}^{(k)}$
 - Beispiel
 - ◆ $\underline{f}^{(k)} = v_1 v_3 \mid v_6 v_5 v_2 v_4$, $\underline{g}^{(k)} = v_4 v_2 \mid v_1 v_5 v_3 v_6$, $r=3$
 - ◆ $\underline{f}^{(k+1)} = v_1 v_3 v_4 v_2 v_5 v_6$, $\underline{g}^{(k+1)} = v_4 v_2 v_1 v_3 v_6 v_5$, $r=3$

Genetische Algorithmen 8

■ Bisher noch keine Optimierung

- Nur neue Lösungen erzeugt

→ Bevorzuge gute Lösungen vor schlechten

- Wähle „gute“ Eltern aus: Niedrige Kosten
- Kombiniere gute Eigenschaften in Nachwuchs
- Aber: Auch Gegenteil möglich (r zufällig)
 - ◆ Vererbung schlechter Eigenschaften
 - ◆ Idee: Schlechte Nachkommen verschwinden in nächster Generation

Genetische Algorithmen 9

```
genetic() {
  int pop_size;
  set<chromosome> pop, new_pop;
  chromosome parent1, parent2, child;

  pop := ∅;
  for (i:=1; i <= pop.size(); i := i+1)
    pop := pop ∪ {"Chromosom einer zufälligen Lösung"}
  do {
    newpop := ∅;
    for (i:=1; i <= pop.size(); i := i + 1) {
      parent1 := pop.select();
      parent2 := pop.select();
      child := crossover(parent1, parent2);
      newpop := newpop ∪ {child};
    }
    pop := newpop;
  } while (!stop());
  report(pop.findmin(c));
}
```

Genetische Algorithmen 10

■ **stop()**

- Z.B. „Keine Verbesserung in den letzten m Iterationen“
- m problemspezifischer Parameter

■ **Mutation**

- Fehler beim Kopieren
- Vermeidet Steckenbleiben in lokalen Minima

■ **Sehr viele Variationsmöglichkeiten**

- Komplexes Crossover (mehrere r)
- Mehrere Generationen gleichzeitig
- Elite-Selektion
- Meta-Genetische Algorithmen

Allgemeine Heuristiken

■ Diverse Alternativen

- Neuronale Netze
- Simulierte Evolution
- Lösen des SAT-Erfüllbarkeitsproblems

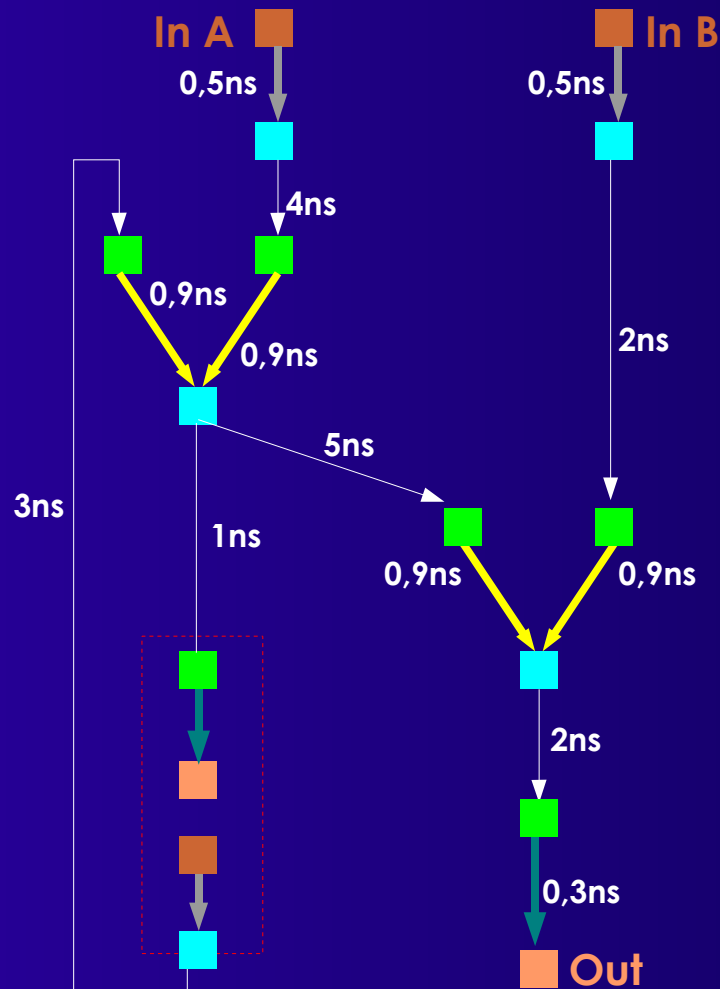
■ Bei allen allgemeinen Ansätzen

- Immer schlechter als problemspezifische
 - ◆ Z.B. Kernighan-Lin für Partitionierung
- Aber schneller zu realisieren
 - ◆ Bei unbekanntem Problemeigenschaften

■ Hybride Ansätze

- z.B. Eingeschränktes SA
 - ◆ SDI, TU Braunschweig

Übung Timing-Analyse



$$T_a(v) = \underset{(u,v) \in E}{\text{Max}} (T_a(u) + w(u,v))$$

$$T_r(u) = \underset{(u,v) \in E}{\text{Min}} (T_r(v) - w(u,v))$$

$$\text{slack}(u,v) = T_r(v) - T_a(u) - w(u,v)$$

■ $D_{\text{max}} = 13,6\text{ns}$

Verdrahtungsfläche

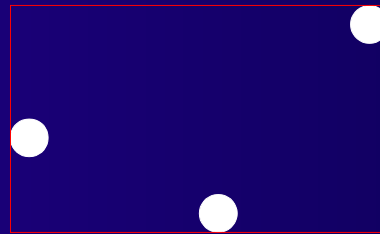
- **Mögliches Platzierungs-Qualitätskriterium**
 - Gesamtfläche für Verdrahtung
 - ◆ Nur bei ASIC
 - ◆ Bei FPGA: Feste Breite der Leitungen, Länge reicht
- **Aber: Vollständiges Routing zu komplex**
 - NP
- **Abschätzen der Länge durch Metrik**
 - Einzel pro Netz
 - Aufsummieren der Teillängen
 - Multiplizieren mit angenommener
 - ◆ Leitungsbreite plus
 - ◆ Leitungsabstand

Längenmetriken 1

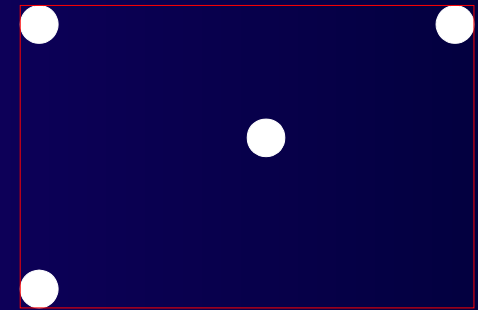
- Halber Umfang (half perimeter)
 - Rechteck um alle Terminals des Netzes



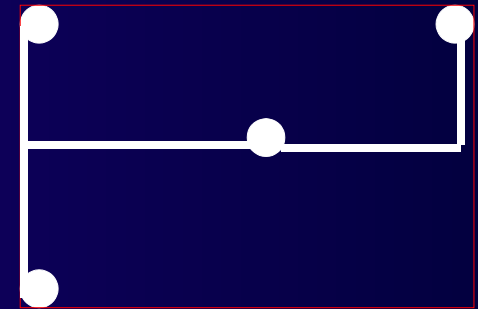
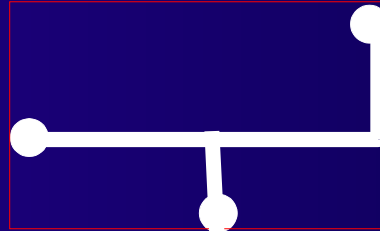
exakt



exakt

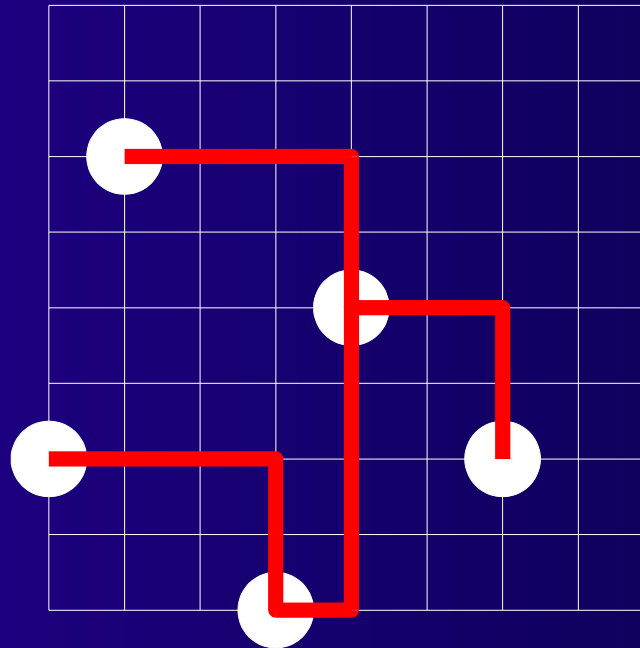


untere Grenze



Längenmetriken 2

■ Minimaler Rechtwinkliger Überspannender Baum (MRST)



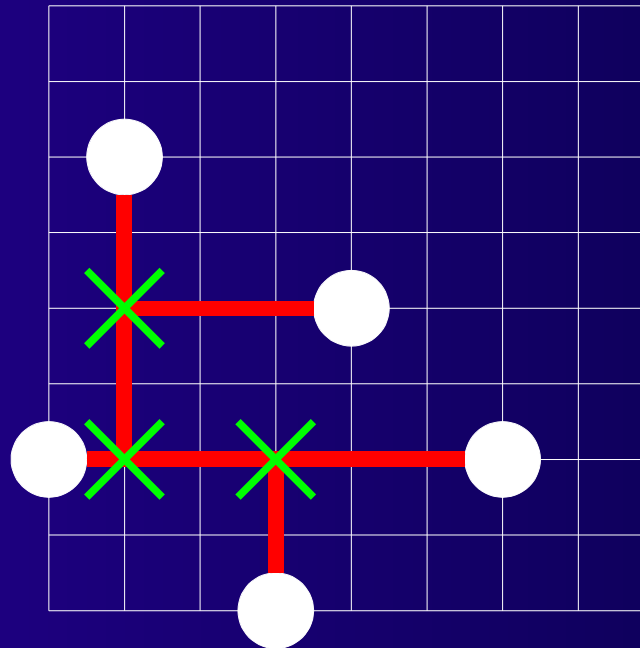
$$L_R = 19$$

■ Sonderfall von MRST

- In P via Prim's Algorithmus (im Buch 3.4.4)
 - ◆ Vollständiger planarer Graph

Längenmetriken 3

■ Rechtw. Steiner-minimaler Baum (RSMT)



$$L_S = 15$$

$$L_R / L_S = 1,26$$

■ RSMT-Berechnung ist NP-vollständig

- Annäherung durch MSRT: max. 1.5x so lang
- Bessere Näherungen existieren

■ Quadratischer Euklidischer Abstand

- Arbeitet auf Zellen, nicht auf Netzen
 - ◆ Für Clique-Modell geeignet

$$\frac{1}{2} \sum_{i=1}^n \sum_{j=1}^n \gamma_{ij} [(x_i - x_j)^2 + (y_i - y_j)^2]$$

■ γ_{ij}

- =0 wenn $(v_i, v_j) \notin E$
- = $|E(v_i, v_j)|$: Gewichtet nach Anzahl Kanten
- $< |E(v_i, v_j)|$: nicht nur Einzelleitungen

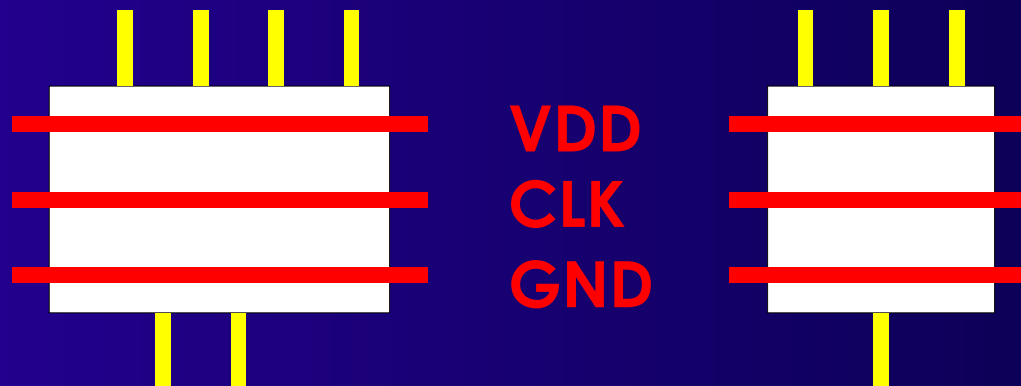
Platzierungsprobleme

- **Standardzellen**
 - Semi-Custom
- **Building Block**
 - Teilweise Full-Custom möglich
- **MPGA/FPGA**
 - Auf vorgegebene Strukturen

Standardzellen 1

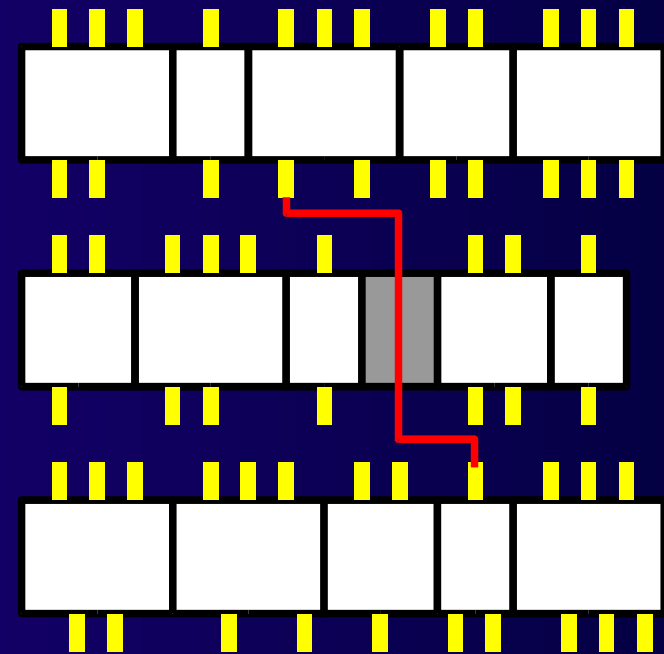
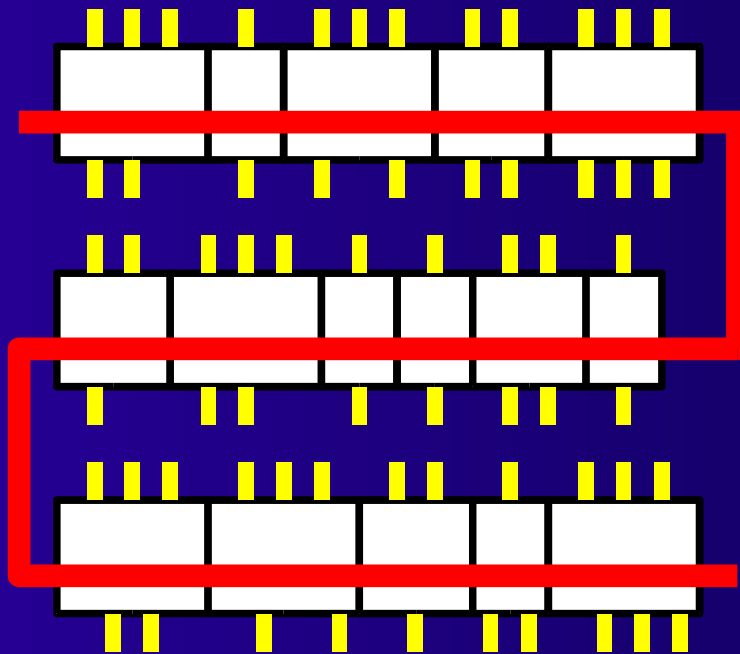
■ Standardzellen (Semi-Custom)

- Kleinere Schaltungen (Gatter) aus Bibliothek
- Festes Layout
 - ◆ Grösse
 - ◆ Terminal-Anordnung
- Anreihbar in Zeilen
 - ◆ Logistische Signale



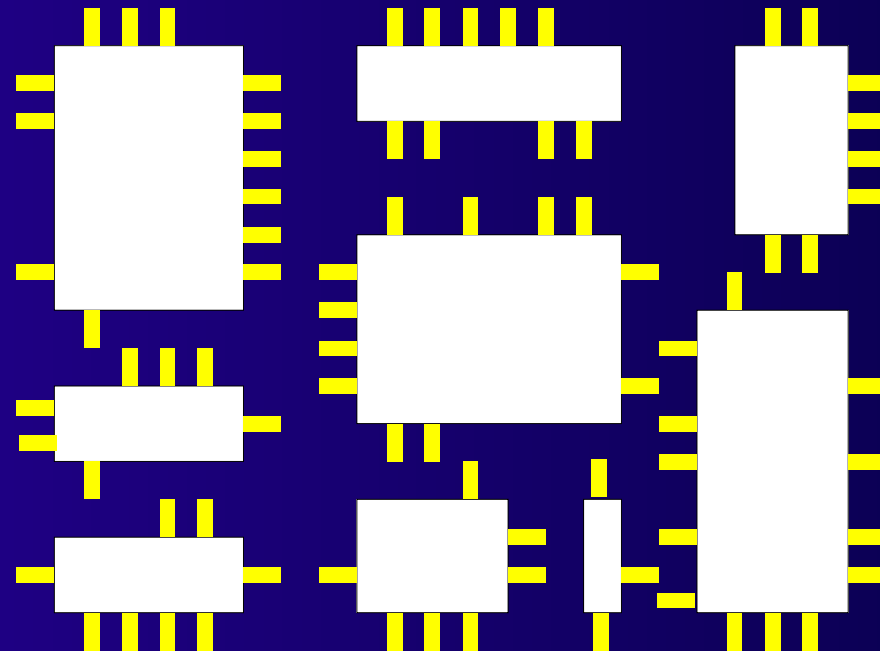
Standardzellen 2

- Zeilenweise Anordnung
- Verdrahtung zwischen Zeilen
- Ausnahmen
 - Angrenzende Verbindungen (abutment)
 - Durchleitungen (feedthroughs)



Building Blocks 1

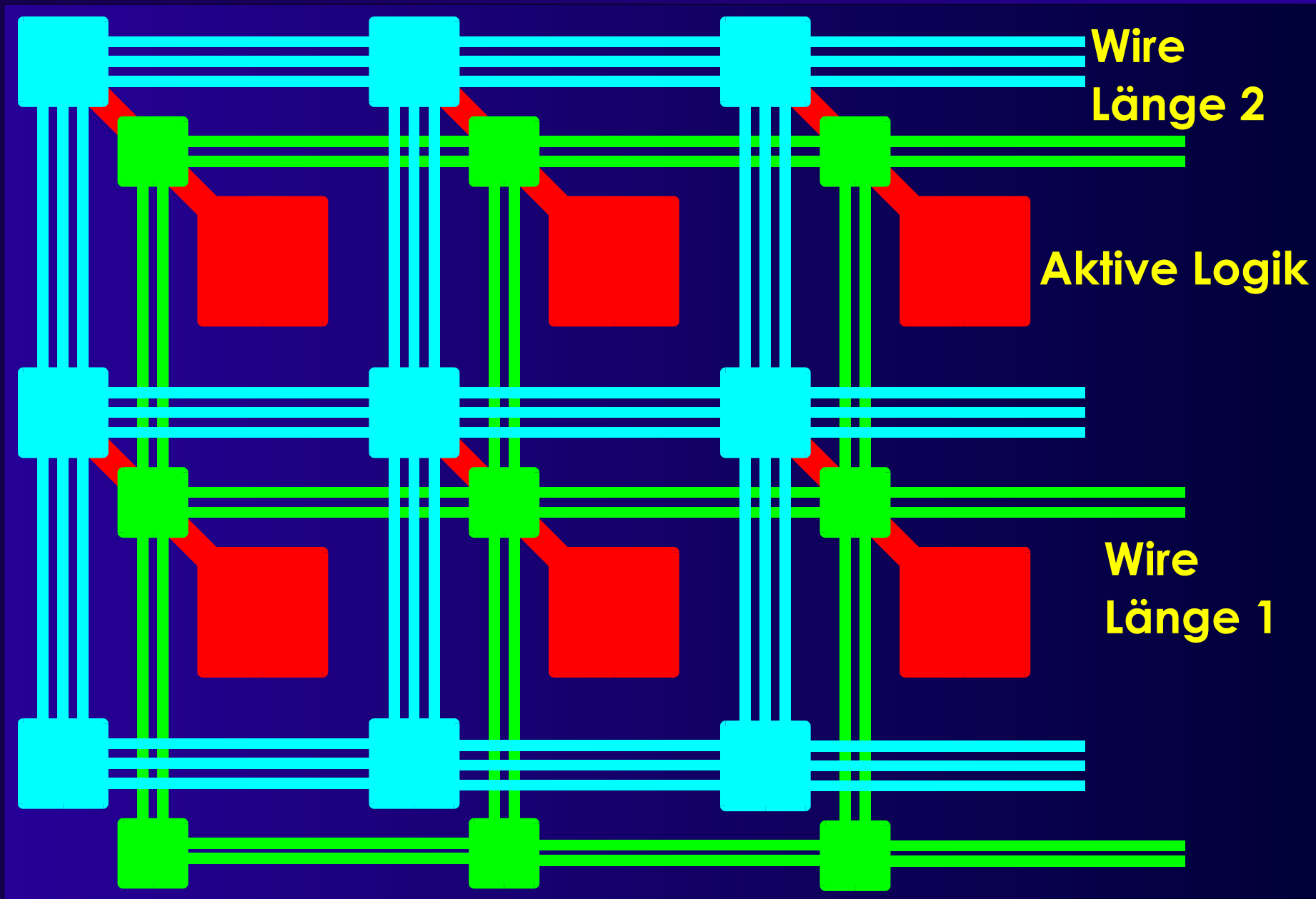
- **Mehr Flexibilität**
 - Kann auch Full-Custom Teile enthalten
 - Automatisch generierte Blöcke (z.B. RAM)
- **Verdrahtungskanäle an allen Seiten**



- **Mask-Programmable Gate Array**
 - Modebezeichnung: Structured ASIC
- **Field-Programmable Gate Array**
- **Feste Anordnung von**
 - Logik
 - Verdrahtung
- **Anpassung auf Anwendung**
 - MPGA: Beim Hersteller (Metalllagen)
 - FPGA: Beim Anwender (Programmierung)

MPGA/FPGA 2

Switch
Box



Längenmaße und Platzierung

- Sehr ähnlich zu UPP
- Aber: Segmentierte Verbindungen
 - Mehrere Verdrahtungslängen
- Verzögerung abhängig von
 - Anzahl durchlaufener Switch Boxes
 - Last (Fan-Out)
- Feste Verdrahtungskapazität
- Nicht jede Platzierung verdrahtbar
- Verdrahtbarkeit in Kostenfunktion

Platzierungsverfahren 1

■ Konstruktiv

- Zellkoordinaten sind nach einmaligem Platzierungsschritt fest

■ Iterativ

- Zellkoordinaten können beliebig oft geändert werden

■ Kombination

- Konstruktive Startlösung
- Dann iterative Verbesserung

Mögliche Optimierungsziele 1

- Minimale Verdrahtungsfläche
- Minimale Verdrahtungslänge
- Schnellste Schaltung
 - Timing-driven
- Anzahl von Leitungen durch Schnittlinie
- Verdrahtbare Schaltung
- Geringes Übersprechen
 - Zwischen Leitungen

Konstruktive Platzierung 1

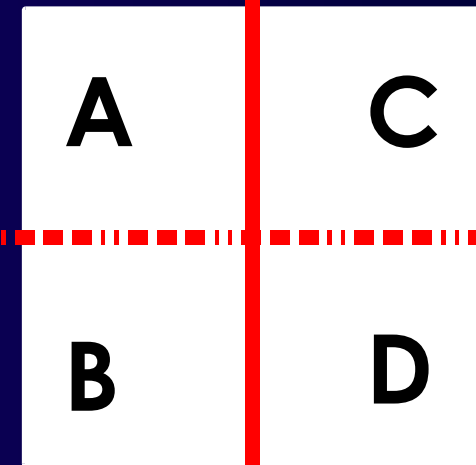
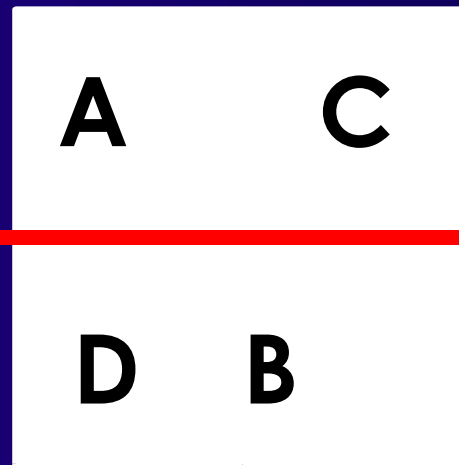
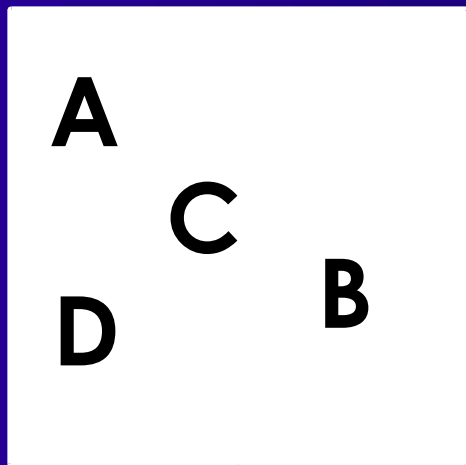
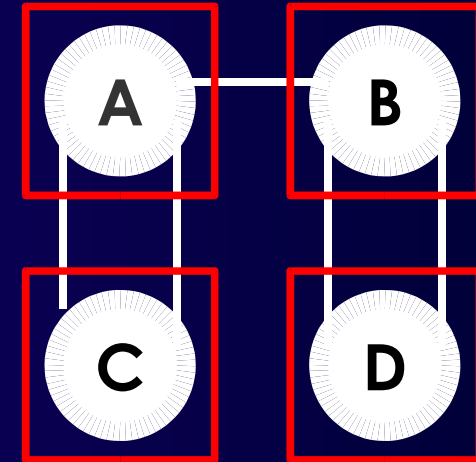
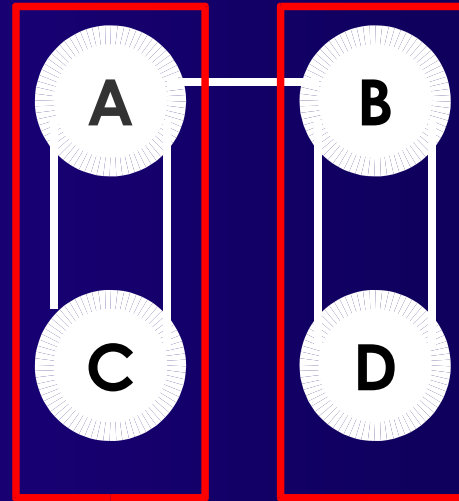
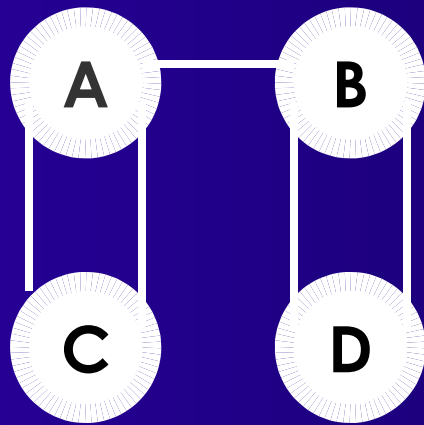
- **Viele Methoden**
- **Top-Down Verfahren**
 - Starten mit kompletter Schaltung
 - Aufteilen in immer kleinere Probleme
 - Beispiel: Min-Cut
- **Bottom-Up Verfahren**
 - Beginnen mit einzelnen Zellen
 - Zusammenfügen von Teillösungen
 - Beispiel: Clustering

Min-Cut Platzierung 1

■ Idee

- Teile Schaltung in zwei Hälften auf
- Minimiere die Anzahl der Netze dazwischen
 - ◆ MinCut: Minimiere Gewicht *durchschnittener* Netze
- Teile auch Layoutfläche nach jedem Schnitt
- Ordne Schaltungshälften Layouthälften zu
 - ◆ Horizontal und Vertikal, i.d.R. abwechselnd
- Wiederhole bis Abbruch
 - ◆ z.B. Nur noch eine Zelle in Partition

Min-Cut Platzierung 2



Min-Cut Platzierung 3

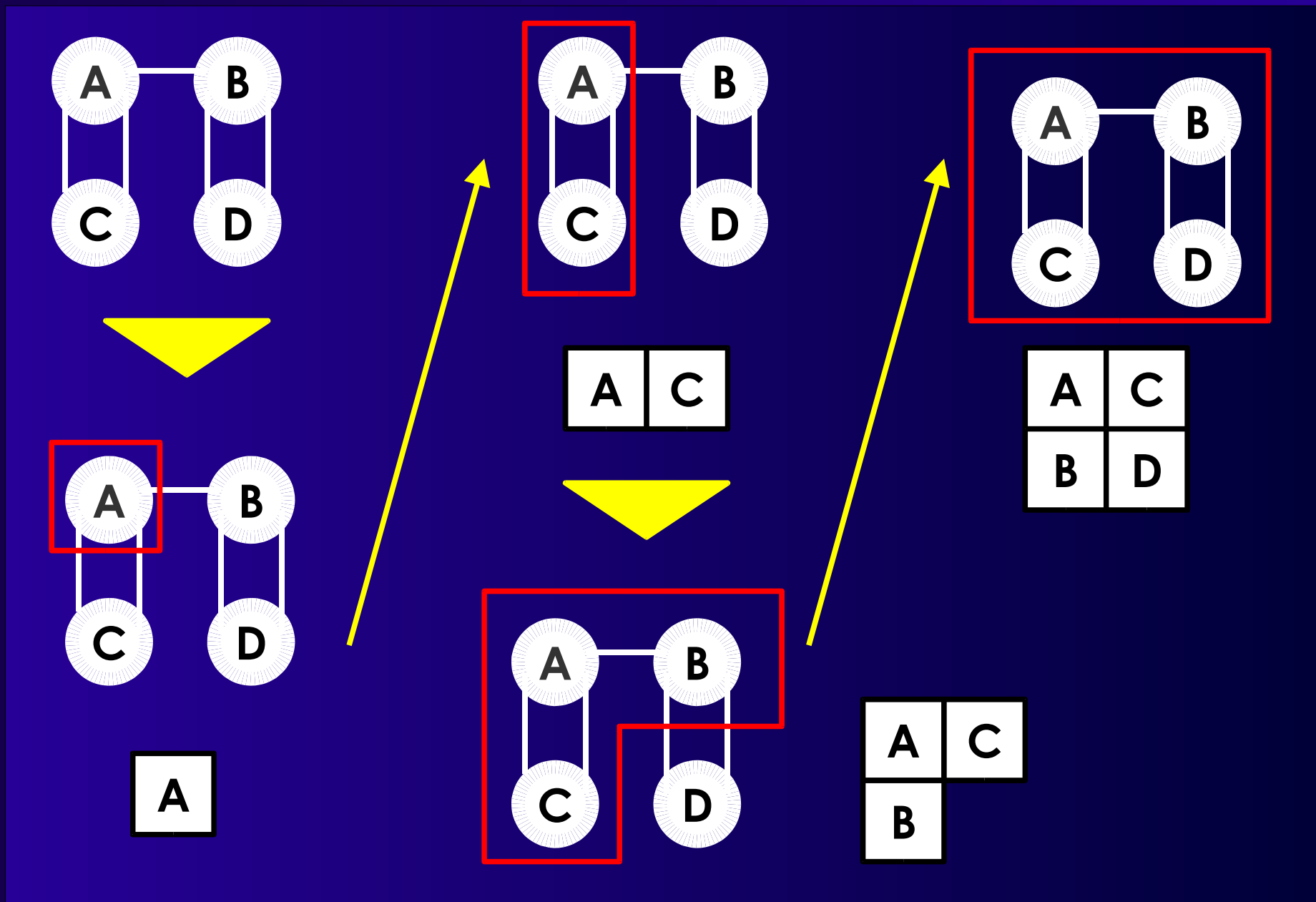
- **Aufteilen des Graphen**
 - Standardalgorithmen
- **Zuweisung der Partitionen an Layout**
 - Einschließlich Richtung der Aufteilung
 - Verschiedene Heuristiken
 - Beispiele:
 - ◆ Berücksichtige bereits zugewiesene Partitionen
 - ◆ Berücksichtige Chip-I/O-Pads

Platzierung mit Clustering 1

- Beginne mit einer Startzelle als Cluster
- Finde angeschlossene Zelle(n)
- Ordne Zelle(n) „nahe“ um Cluster an
- Füge neue Zellen dem Cluster hinzu

- **Entscheidungen:**
 - Welche Zellen(n) hinzufügen?
 - Auf welche Art nahegelegenen anordnen?

Platzierung mit Clustering 2



Iterative Verbesserung 1

- „Kleine“ Veränderung bestehender Lösung
 - Ändere die Position von Zelle(n)
 - Falls besseres Ergebnis: Immer übernehmen
 - Schlechter: Unter Umständen übernehmen
- Abhängig von Suchverfahren!

Iterative Verbesserung 2

```
iterative_improvement () {  
  s := initial_configuration();  
  c := s.cost();  
  while (!stop()) {  
    s' := s.perturb();  
    c' := s'.cost();  
    if ( c.accept( c' ) )  
      s := s';  
  }  
}
```

■ **initial_configuration**

■ **cost**

■ **stop**

- z.B. #Iterationen
- komplexer möglich

■ **accept**

- Nachbarsuche
- Simulated Annealing
- Tabu-Suche

Iterative Verbesserung 3

■ perturb

- Bei UPP: einfach, z.B. Positionstausch
 - ◆ Bei Standardzellen oder Building Block:
 - ❖ Unterschiedliche Zellgrößen, Überlappung möglich

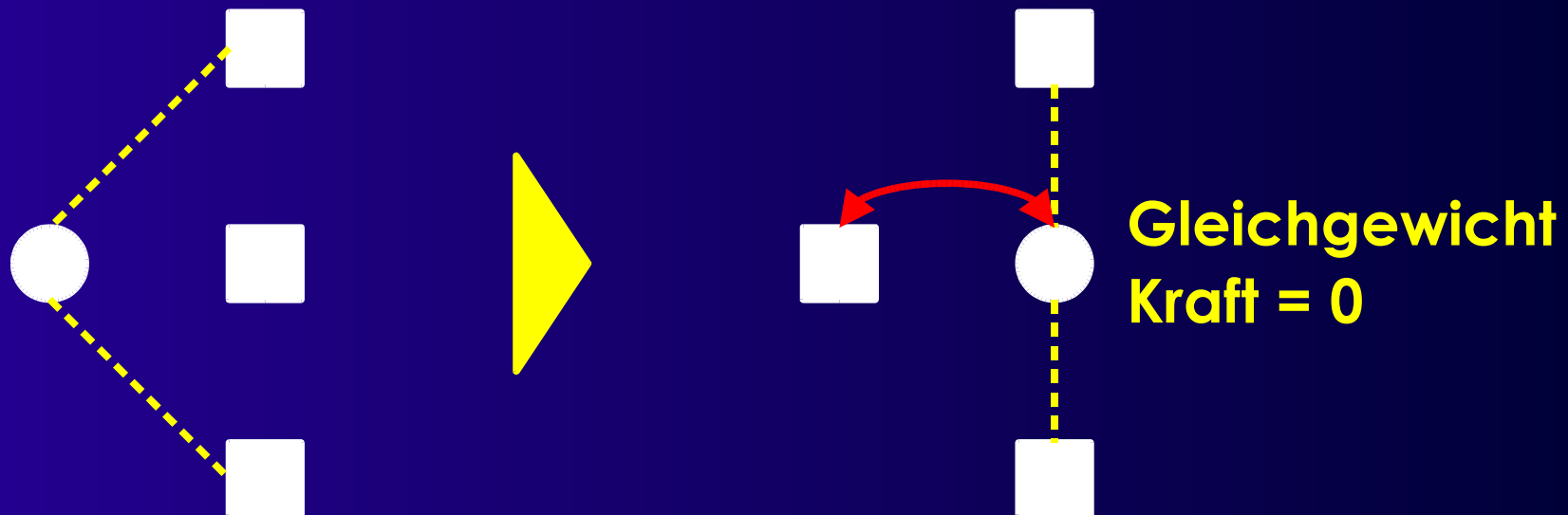
Iterative Verbesserung 4

■ Vorgehensweisen

- **Überlappung erlaubt, aber höhere Kosten**
 - ◆ **Bereinige beste gefundene Lösung am Ende**
 - ◆ **Möglicherweise drastische Verschlechterung**
- **Beseitige Überlappung direkt nach jedem Zug**
 - ◆ **Bei BB sehr aufwendig, bei SC machbar**
 - ◆ **Aber so genauere Kostenberechnung möglich**
- **Erzeuge nur überlappungsfreie Lösungen**
 - ◆ **Züge unter Umständen sehr viel aufwendiger**

Iterative Verbesserung 5

- Alternativen zu zufälligem Zellaustausch
 - Kräfte-gesteuerte Auswahl des Partners
 - Bestimme Idealposition der Zelle
 - ◆ Reduziere durch Netze ausgeübte Anziehungskraft
 - Tausche dann mit Zelle auf Idealposition



Iterative Verbesserung 6

■ Berechnung des Schwerpunktes

- Verwendet Cliques-Modell $G(V, E)$
- γ_{ij} : Gewicht von $(i, j) \in E$, $\gamma_{ij} = 0$ falls $(i, j) \notin E$
- Bestimme Schwerpunkt (x_i^g, y_i^g) der Zelle i

$$x_i^g = \frac{\sum_j \gamma_{ij} x_j}{\sum_j \gamma_{ij}} \quad \text{Gewichteter Durchschnitt} \quad y_i^g = \frac{\sum_j \gamma_{ij} y_j}{\sum_j \gamma_{ij}}$$

- Bewege Zelle i dorthin
- Was tun, wenn dort schon andere Zelle liegt?
 - ◆ Bewege andere Zelle auf ihren Schwerpunkt
 - ◆ Erzeugt Folge von Zügen, ggf. Tabu-Mechanismus

Partitionierung 1

- **Aufteilen eines Graphen**
- **Hier motiviert durch Platzierung**
 - Min-Cut
- **Andere Anwendungen**
 - Aufteilen einer Schaltung auf mehrere Chips
 - Verkleinern der Problemgröße
 - ◆ Vorbereitung vor anderem Algorithmus
- **Viele Verfahren**
 - Beispiel: Kernighan-Lin

Kernighan-Lin Partitionierung 1

■ Problem

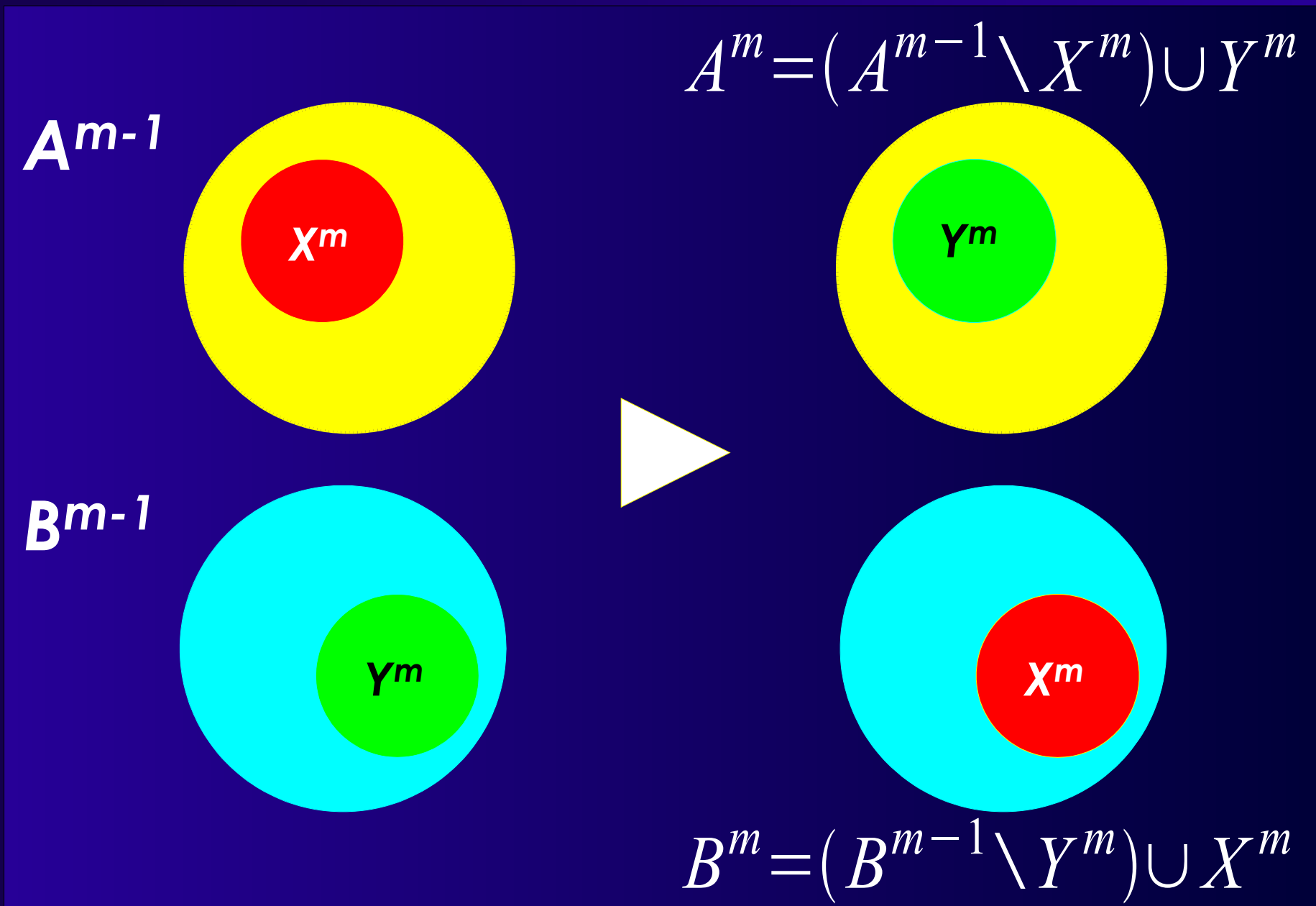
- Gewichteter, ungerichteter Graph $G(V, E)$
- $|V| = 2n$
- γ_{ab} : Gewicht von $(a, b) \in E$, $\gamma_{ab} = 0$ bei $(a, b) \notin E$
- Finde Mengen A und B mit
 - ◆ $A \cup B = V, A \cap B = \emptyset, |A| = |B| = n$
- Minimiere
$$\sum_{(a, b) \in A \times B} \gamma_{ab}$$

■ Arbeitet auf Cliques-Modell

Kernighan-Lin Partitionierung 2

- Partitionierungsproblem ist NP-vollständig
- KL ist eine Heuristik
 - Im praktischen Einsatz bewährt
- Vorgehensweise
 - Anfangslösung bestehend aus A^0 und B^0
 - ◆ I.d.R. nicht optimal
 - Isoliere Untermengen von A^{m-1} und B^{m-1}
 - Tausche diese aus um A^m und B^m zu bestimmen
 - Wiederhole, solange Verbesserung erreichbar

Kernighan-Lin Partitionierung 3



Kernighan-Lin Partitionierung 4

- Optimum immer in einem Schritt erzielbar
 - Bei geeignetem X^m und Y^m
- Problem: Wie X^m und Y^m bestimmen?
 - Schwer zu finden
- Suche Lösung in mehreren Schritten
 - Wiederhole, bis keine Verbesserung mehr
- Anzahl Schritte unabhängig von n
 - In der Praxis ≤ 4 .

Kernighan-Lin Partitionierung 5

- Konstruktion von X^m und Y^m
- Externe Kosten

$$E_a = \sum_{y \in B^{m-1}} \gamma_{ay} \quad , a \in A^{m-1}$$

- Interne Kosten

$$I_a = \sum_{x \in A^{m-1}} \gamma_{ax} \quad , a \in A^{m-1}$$

- Analog für B

Kernighan-Lin Partitionierung 6

- $D_a = E_a - I_a$ für $a \in A^{m-1}$ (desirability)
 - >0 : Knoten sollte nach B getauscht werden
 - <0 : Knoten sollte in A bleiben
- **Verbesserung Δ der Schnittkosten**
 - Bei Austausch von $a \in A^{m-1}$ und $b \in B^{m-1}$

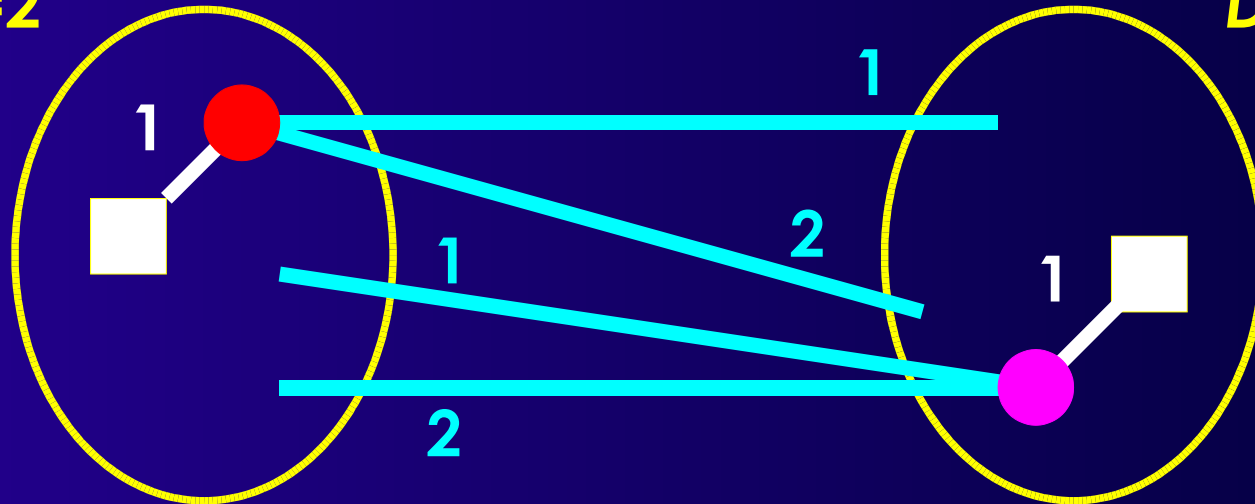
$$\Delta = D_a + D_b - 2\gamma_{ab}$$

- Δ kann negativ sein!

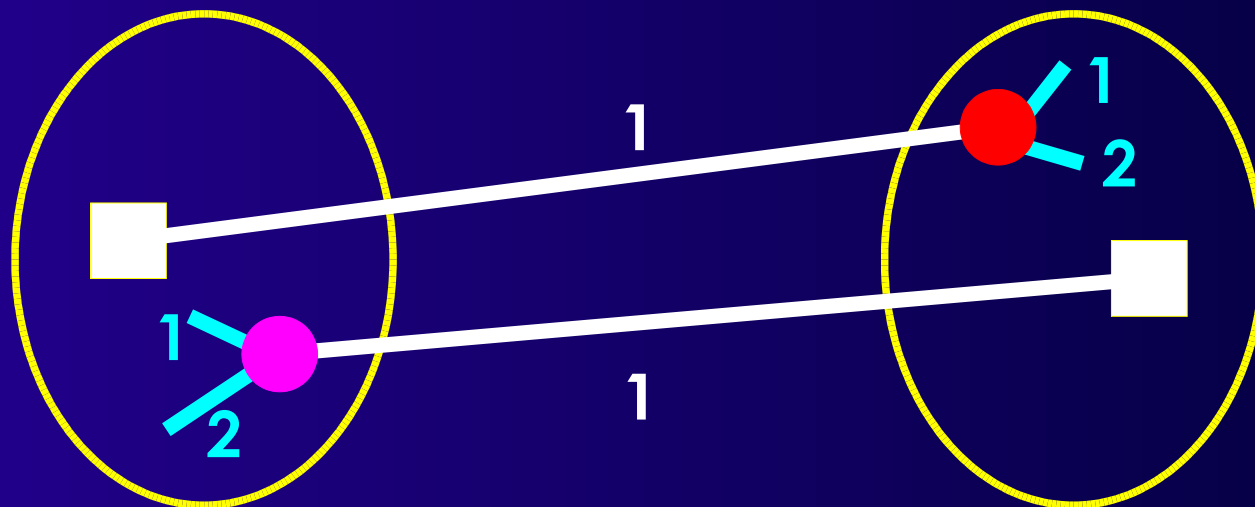
Kernighan-Lin Partitionierung 7

$$D_a = 3 - 1 = 2$$

$$D_b = 3 - 1 = 2$$



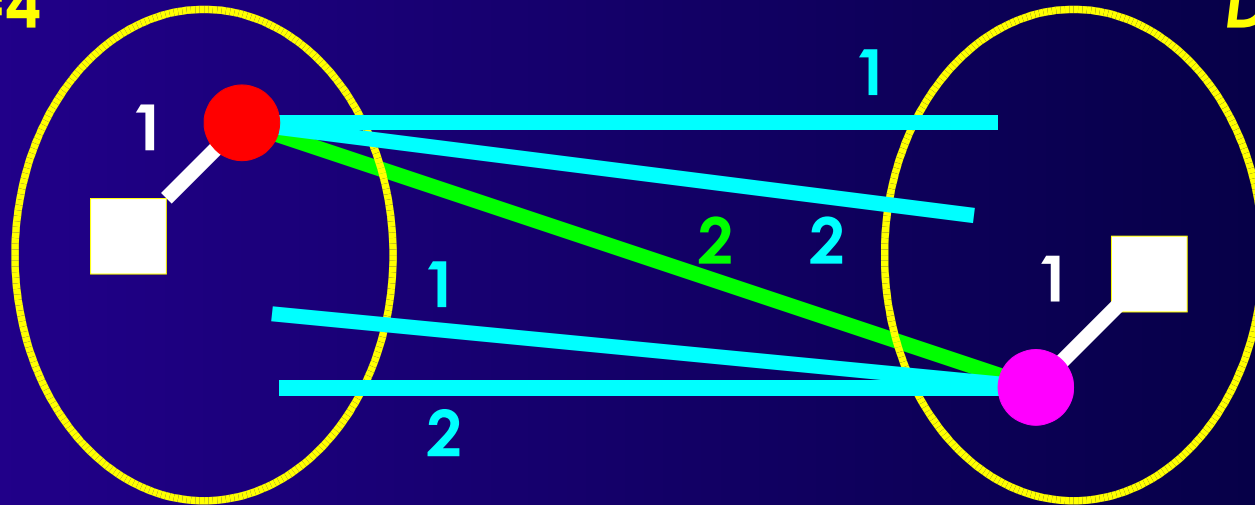
$$\Delta = D_a + D_b - 2 \gamma_{ab} = 2 + 2 - 0 = 4$$



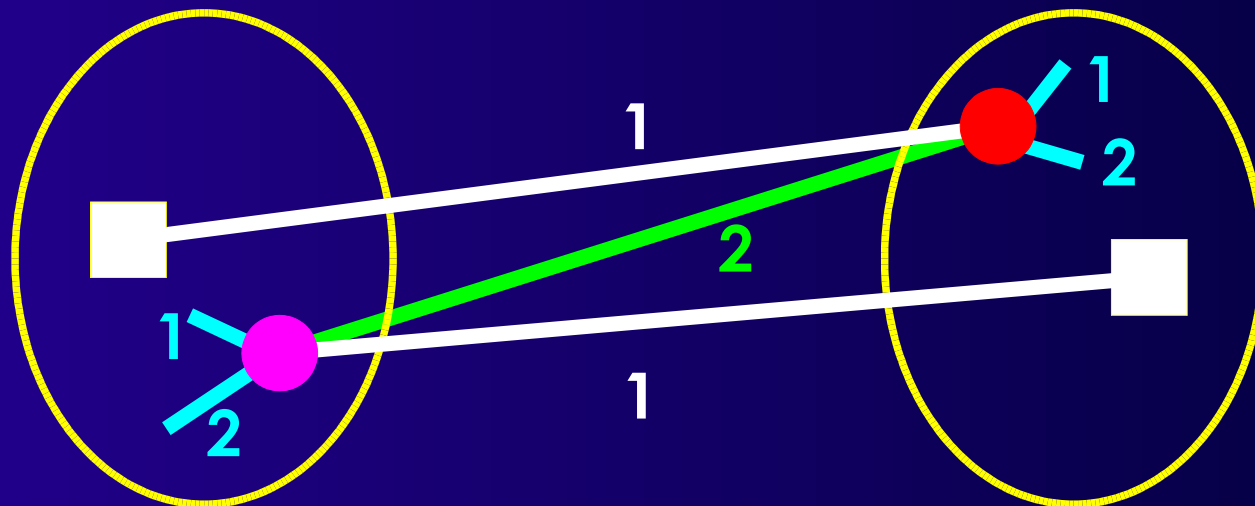
Kernighan-Lin Partitionierung 8

$$D_a = 5 - 1 = 4$$

$$D_b = 5 - 1 = 4$$



$$\Delta = D_a + D_b - 2 \gamma_{ab} = 4 + 4 - 2 \cdot 2 = 4$$



Kernighan-Lin Partitionierung 9

initialize(A^0, B^0);

$m := 1$;

do {

foreach $a \in A^{m-1}$

 "berechne D_a ";

foreach $b \in B^{m-1}$

 "berechne D_b "

for ($i:=1$; $i \leq n$; $++i$) {

 "finde freie $a_i \in A^{m-1}, b_i \in B^{m-1}$ mit

$\Delta_i := D_{a_i} + D_{b_i} - 2 \gamma_{a_i b_i}$ maximal"

 "sperrte a_i und b_i "

foreach "freies" $x \in A^{m-1}$

$D_x := D_x + 2 \gamma_{x a_i} - 2 \gamma_{x b_i}$;

foreach "freies" $y \in B^{m-1}$

$D_y := D_y - 2 \gamma_{y a_i} + 2 \gamma_{y b_i}$;

}

 "finde ein k mit $\sum_{i=1}^k \Delta_i$ ist max."

$G := \sum_{i=1}^k \Delta_i$

$$D_x = E_x - I_x$$

$$= E_x^{old} + \gamma_{ax} - \gamma_{bx} - (I_x^{old} - \gamma_{ax} + \gamma_{bx})$$

$$= D_x^{old} + 2\gamma_{ax} - 2\gamma_{bx}$$

if ($G > 0$) {

$X^m := \{a_1, \dots, a_k\}$;

$Y^m := \{b_1, \dots, b_k\}$;

$A^m := (A^{m-1} \setminus X^m) \cup Y^m$;

$B^m := (B^{m-1} \setminus Y^m) \cup X^m$;

 "entsperre alle Knoten in A^m and B^m "

$m := m + 1$;

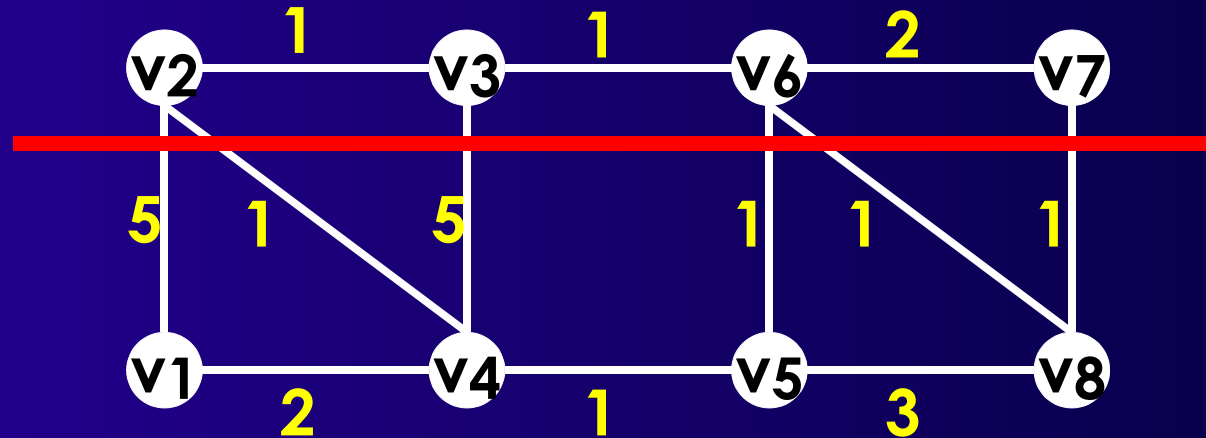
}

while ($G > 0$);

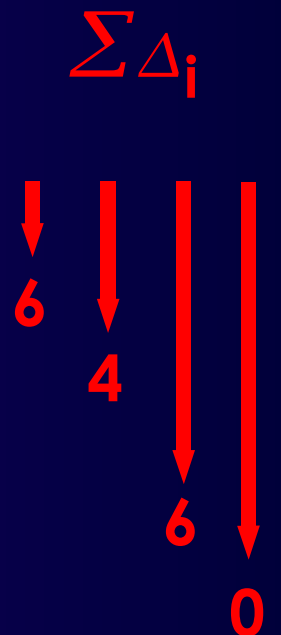
Kernighan-Lin Partitionierung 10

- Δ_j kann negativ werden
- $\sum \Delta_j$ kann zeitweise auch negativ sein
 - Dicht verbundene Teilmengen
 - ◆ Keine Verbesserung bei Austausch von Einzelknoten
 - ◆ Erst bei Austausch der gesamten Teilmenge

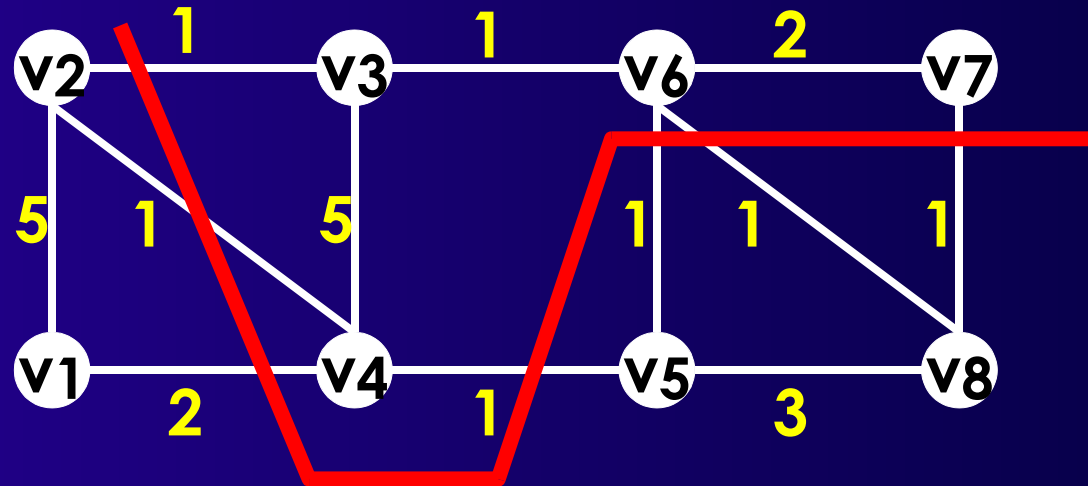
Kernighan-Lin Partitionierung 11



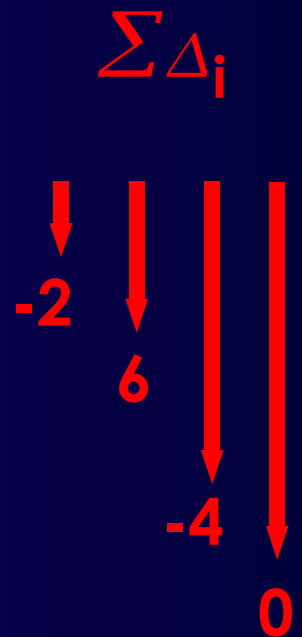
i	A^0				B^0				Δ_i
	v2	v3	v6	v7	v1	v4	v5	v8	
1	5	3	-1	-1	3	3	-3	-1	6
2		-5	-1	-1	-3		-1	-1	-2
3		-5	1		-3			3	2
4		-3			-3				-6



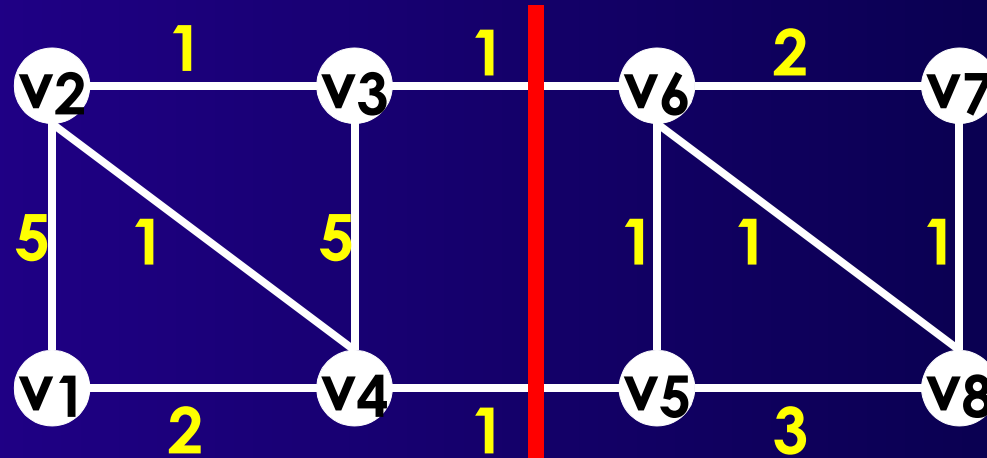
Kernighan-Lin Partitionierung 12



i	A^1				B^1				Δ_i
	v3	v4	v6	v7	v1	v2	v5	v8	
1	-5	-1	-1	-1	-3	-3	-1	-1	-2
2	5		-3	-3	-7	-5	3		8
3			-3	-3	-7	-7			-10
4				1		3			4



Kernighan-Lin Partitionierung 13



- Danach keine Verbesserung mehr in G
 - Innere Schleife: n Iterationen
 - Finden des Paares mit bestem Δ : $O(n^2)$
 - Nach Δ sortiert: $O(n \log n)$
- $O(n^3)$ oder $O(n^2 \log n)$

Kernighan-Lin Partitionierung 14

- **KL: Lokale Suche mit variabler Nachbarschaft**
- **Schnellere Verfahren**
 - **Fiduccia-Mattheyses (FM)**
 - ◆ Wesentlich schneller: $O(n)$
 - ◆ Aber schlechtere Qualität der Lösungen
 - **QuickCut (QC): avg. $O(|E| \log n)$**
 - ◆ Gleiche Qualität wie KL
- **Diverse Alternativen**
 - Spectral Partitioning, Multi-Level-FM, ...

Weiteres Vorgehen

■ **Diesen Freitag keine Veranstaltung!**

■ **Dienstag**

- **Abgabe 1. Aufgabe: 12:00 Uhr MET mittags**
 - ◆ **Ausnahmsweise noch *ohne* Gruppennummer**
 - ◆ **Bitte in der Mail auch Klarnamen angeben**
 - ❖ **Nicht nur E-Mail-Adressen!**
- **Keine Vorbereitung der Vorlesung**
 - ◆ **Vorstellung eines realen Platzierungswerkzeugs**

Zusammenfassung

- **Genetische Algorithmen**
- **Übung Timing-Analyse**
- **Längenmaße für Netze**
- **Platzierungsverfahren**
 - Zieltechnologien
 - Konstruktiv
 - Iterativ
- **Partitionierung: Min-Cut**
 - Anwendung für Platzierung
 - Kernighan-Lin